



Так, в табл. 1 представлены приближенные значения временной трудоемкости  $T^*$  выработки хэш-кода в FT-режиме для различных внутренних функций при фиксированных значениях длины сообщения и оптимальном подборе значений параметра арности, гарантирующих минимальные временные затраты.

Таблица 1. Значения  $T^*$  для FT-режима

Длина сообщения, байты	AES	RC2	Threefish	Кеccak	Стрибор
$2^{21}$	0.2133	7.6547	1.6587	0.0902	16.1205
$2^{22}$	0.4393	11.5778	3.4588	0.2745	30.9774
$2^{24}$	3.0517	22.9384	12.3012	0.4554	181.8706
$2^{25}$	6.0112	68.6577	25.8841	0.7819	247.0934
$2^{27}$	8.9500	171.0502	44.5411	1.2068	325.5004

Как видно из табл. 1, максимальное быстродействие FT-режима достигается при использовании внутренней функции Кеccak, поэтому в дальнейшем будем рассматривать FT-режим именно с указанной внутренней функцией.

На рис. 1 изображена зависимость  $T^*$  от длины исходного сообщения при оптимальном выборе значений параметра арности (в зависимости от величины  $n$ ) для указанных внутренних функций FT-режима.

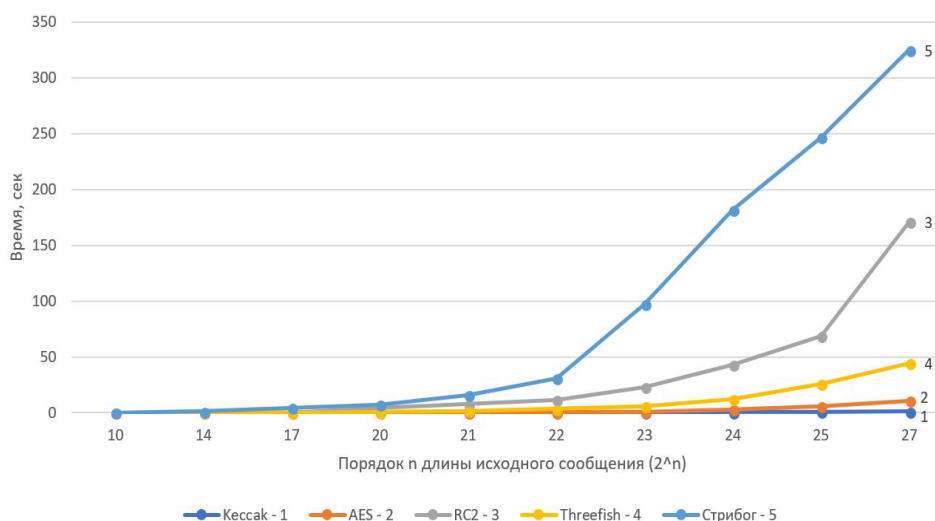


Рис. 1. Поведение  $T^*(n)$  для различных внутренних функций в FT-режиме

З а м е ч а н и е 2. Для сравнения эффективности использования внутренних функций в качестве контрольных примеров были рассмотрены сообщения длины вида  $2^k$ ,  $2^k \pm 1$ , а также  $4^k$  и  $4^k \pm 1$ ,  $k \in \mathbb{N}$  (данные значения являются наиболее показательными для бинарного и 4-арного древовидных режимов Sakura и MD6 соответственно).

Результаты сравнения временной трудоемкости вычисления хэш-кода с использованием FT-режима и древовидных режимов [10] для оптимальных значений параметров хэширования представлены в табл. 2. Нетрудно заметить, что реализация FT-режима становится эффективнее по сравнению с другим режимами при хэшировании сообщений большой длины (наименьшие значения характеристики  $T^*$  выделены жирным шрифтом).

Таблица 2. Некоторые значения  $T^*$  для различных древовидных режимов

Длина сообщения, байты	Sakura	MD6	BLAKE2	Phash	Skein	FT-режим (Кескак)
$4^{12} - 1$	7.9994	95.0976	73.4584	16.3489	<b>0.3117</b>	0.4550
$4^{12}$	7.7262	95.0986	73.4590	16.3498	<b>0.3125</b>	0.4554
$4^{12} + 1$	7.8109	96.7101	73.4598	16.3505	<b>0.3238</b>	0.4561
$2^{27} - 1$	21.2774	149.2800	124.9943	24.5148	<b>1.2039</b>	1.2062
$2^{27}$	20.8756	149.2811	124.9956	24.5154	<b>1.2054</b>	1.2068
$2^{27} + 1$	21.0063	149.2838	124.9971	24.5167	1.2079	<b>1.2075</b>
$4^{17} - 1$	85.6961	176.2039	140.1895	99.8965	7.0370	<b>6.9984</b>
$4^{17}$	83.0345	176.2058	140.1931	99.8977	7.0394	<b>6.9994</b>
$4^{17} + 1$	84.1254	179.0152	140.1997	99.9154	7.0451	<b>7.0017</b>

На рис. 2 представлены графики поведения функционала  $T^*(n)$  для соответствующих древовидных режимов.

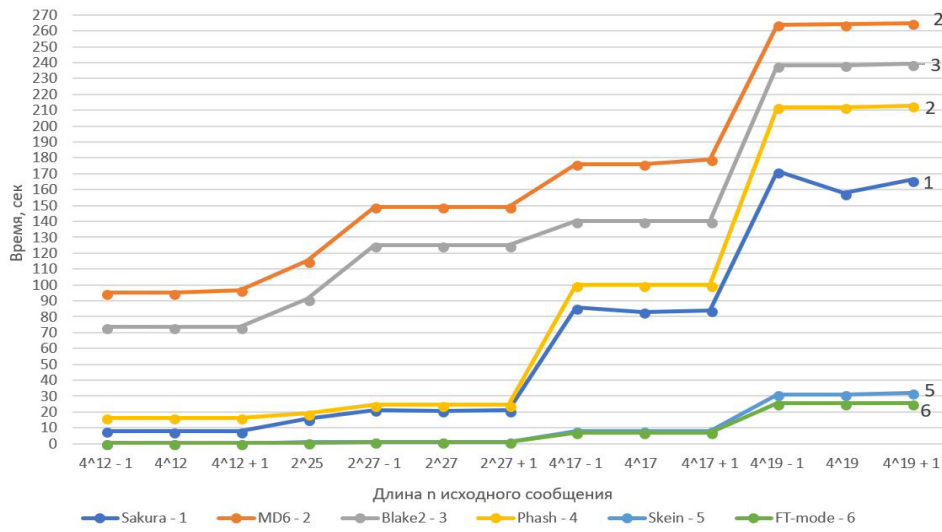


Рис. 2. Графики поведения  $T^*(n)$  для различных древовидных режимов

**Закключение.** Экспериментальные исследования показали, что универсальный по отношению к механизму выработки узлов дерева хэширования FT-режим при использовании внутренней функции Кескак практически во всех случаях эффективнее с точки зрения вычислительной и временной трудоемкости большинства известных на сегодняшний момент древовидных режимов выработки хэш-кода. При этом для криптографического анализа FT-режим является наиболее «прозрачным», а его надежность полностью определяется криптографической стойкостью используемой внутренней функции.

#### СПИСОК ЛИТЕРАТУРЫ

1. Дали Ф. А., Миронкин В. О. О вероятностных характеристиках одного класса моделей древовидного хэширования. — Обозрение прикл. и промышл. матем., 2016, т. 23, в. 4, с. 345–347.
2. Дали Ф. А., Миронкин В. О. О некоторых моделях древовидного хэширования. — Обозрение прикл. и промышл. матем., 2017, т. 24, в. 4, с. 241–244.

3. Дали Ф. А., МIRONКИН В. О. О древовидных режимах работы хэш-функций. — Проблемы информационной безопасности. Компьютерные системы. 2018, №1, с. 113–121.
4. МIRONКИН В. О., УРУСОВ М. И. О коллизиях деревьев Меркла. — Обзорение прикл. и промышл. матем., 2018, т. 25, в. 1, с. 84–88.
5. Aumasson J.-P., Neves S., Wilcox-O’Hearn Z., Winnerlein C. BLAKE2: simpler, smaller, fast as MD5, 2013, <https://blake2.net>.
6. Bertoni G., Daemen J., Peeters M., Van Assche G. Sakura: a flexible coding for tree hashing, Cryptology ePrint Archive, Report 2013/231, 2013, <http://eprint.iacr.org>.
7. Ferguson N., Lucks S., Schneier B., Whiting D., Bellare M., Kohno T., Callas J. The Skein Hash Function Family, Version 1.3., October, 2010.
8. Kaminsky A., P. Radziszowski S. A case for a parallelizable hash. Rochester, NY: Department of Computer Science Rochester Institute of Technology, USA MILCOM, November, 2008.
9. Rivest R. L., Agre B., Bailey D. V., Crutchfield C., Dodis Y., Fleming K. E., Khan A., Krishnamurthy J., Lin Y., Reyzin L., Shen E., Sukha J., Sutherland D., Tromer E., Yin Y. L. The MD6 hash function. A proposal to NIST for SHA-3, Cambridge, MA: Massachusetts Institute of Technology, October, 2008. <http://csrc.nist.gov>.
10. Дали Ф. А., МIRONКИН В. О. Обзор подходов к построению древовидных режимов работы некоторых хэш-функций. — Проблемы информационной безопасности. Компьютерные системы. 2017, №2, с. 46-55.
11. Bertoni G., Daemen J., Peeters M., Van Assche G. The Keccak reference. <http://noekeon.org>.
12. Kazymyrov A., Kazymyrova V. Algebraic Aspects of the Russian Hash Standard GOST R 34.11-2012, 2013. <http://eprint.iacr.org/2013/556.pdf>.